

Signaux et Systèmes

Chapitre 7

Analyse et synthèse

des filtres analogiques

Septembre 2019

TABLE DES MATIERES

- 7.1 Filtres analogiques: généralités
- 7.2 Fonctions de transfert rationnelles
- 7.3 Placement des pôles et zéros
- 7.4 Synthèse de filtres particuliers

7.1 FILTRES ANALOGIQUES: GENERALITES

- Filtre analogique = système analogique linéaire invariant dans le temps (LIT)
- Classification des filtres analogiques
- Spécifications fréquentielles
- Diagramme de Bode

Unser / Signaux & Systèmes

7-3

Filtre analogique = système analogique LIT

- Descriptions mathématiques équivalentes:
 - Réponse impulsionnelle

$$h(t) = S_a \left\{ \delta \right\}(t)$$

■ Réponse indicielle

$$a(t) = S_a \{u\} (t) = \int_{-\infty}^t h(\tau) d\tau$$

■ Réponse fréquentielle

$$H(\omega) = \mathcal{F}\{h\}(\omega) = \int_{-\infty}^{+\infty} h(t)e^{-j\omega t} dt$$

$$x(t)$$
 $S_a\{\cdot\}$ $y(t)$

$$y(t) = (h * x) (t)$$

$$\updownarrow$$

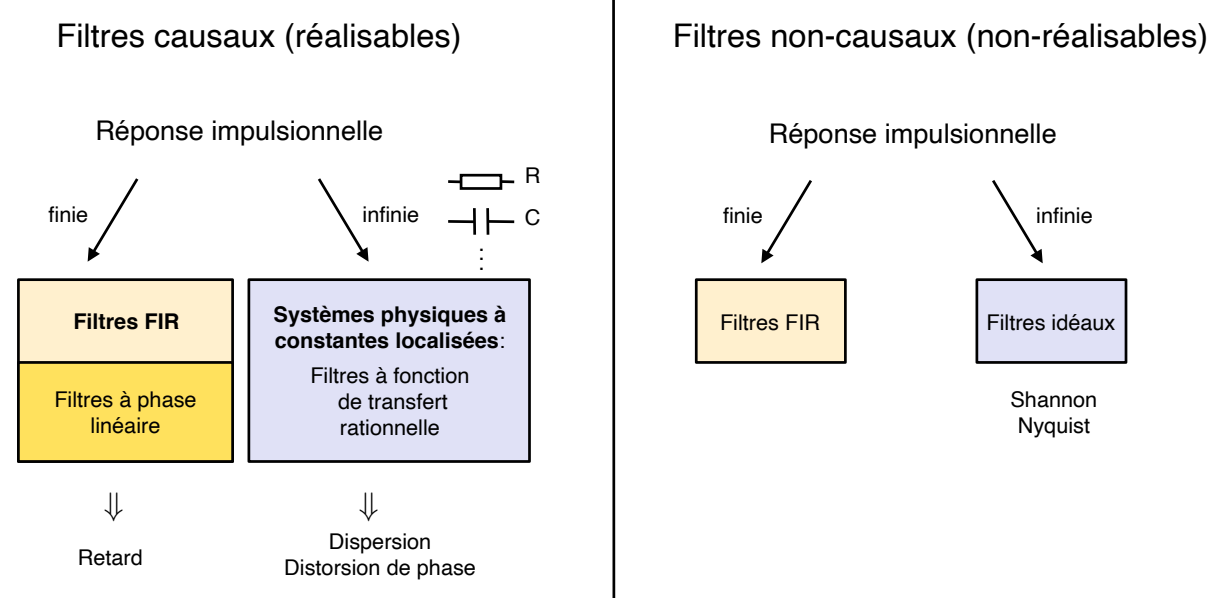
$$Y(\omega) = H(\omega) \cdot X(\omega)$$

■ Fonction de transfert (=notation plus concise)

$$H(s) = \int_{-\infty}^{+\infty} h(t)e^{-st} dt$$
 (Transformation de Laplace)

Equivalent à Fourier si l'on pose $s=j\omega$

Classification des filtres analogiques



Réponse impulsionnelle infinie Filtres idéaux Shannon Nyquist

Remarque: la causalité est une contrainte physique liée à la flèche du temps. Des filtres non-causaux sont parfaitement réalisables dans d'autres contextes (e.g. systèmes optiques pour le traitement des images)

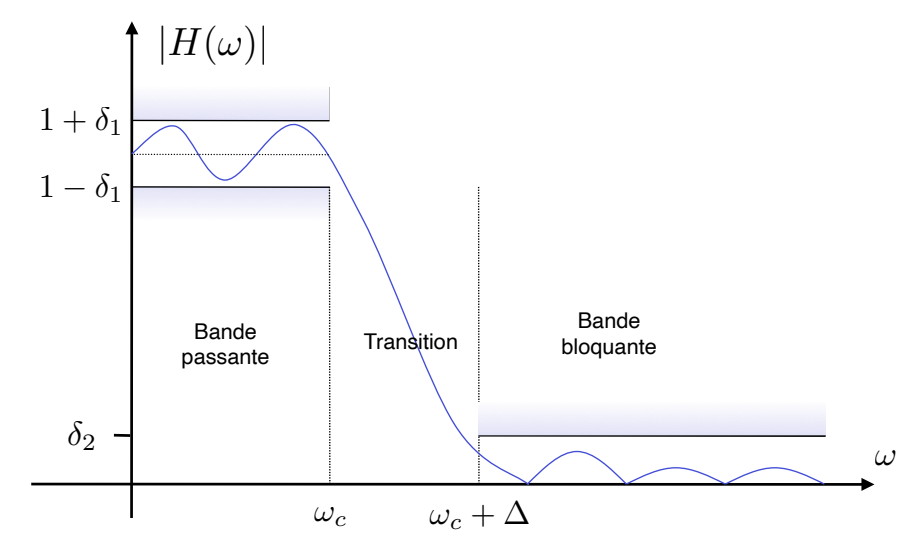
7-5 Unser / Signaux et systèmes

Spécifications fréquentielles

Les filtres idéaux n'étant pas réalisables, il faut faire des compromis:

- Fluctuations dans la bande passante $(1 \pm \delta_1)$
- \blacksquare Zone de transition (largeur Δ)
- Fluctuations dans la bande bloquante ($0 \pm \delta_2$)

La tolérance par rapport à une réponse idéale est exprimée à l'aide d'un gabarit



7-6 Unser / Signaux et systèmes

Diagramme de Bode

Réponse fréquentielle: $H(\omega) = |H(\omega)| \cdot e^{j\Phi_H(\omega)}$

- Diagramme de Bode
 - Echelle fréquentielle logarithmique
 - Amplitude en décibel: $20 \log_{10} |H(\omega)|$ [dB]
 - Phase: $\Phi_H(\omega)$
- Cas des fonctions de transfert rationnelles

$$H(\omega) = \frac{b_m(j\omega)^m + \dots + b_1(j\omega) + b_0}{(j\omega)^n + a_{n-1}(j\omega)^{n-1} + \dots + a_1(j\omega) + a_0}$$

lacksquare Forme asymptotique lorsque $\omega o +\infty$

$$\lim_{\omega \to +\infty} H(\omega) = \frac{b_m}{(j\omega)^{n-m}}$$

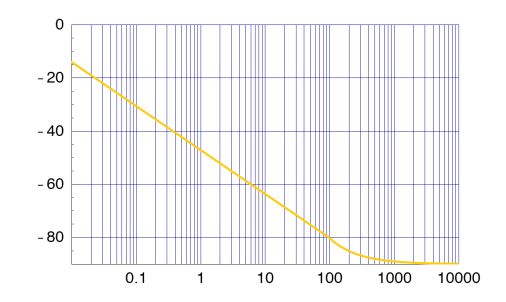
Amplitude normalisée:

$$\lim_{\omega \to +\infty} \{20 \log_{10} |H(\omega)|\} = -20(n-m) \log_{10} \omega + \text{const}$$

Amplitude: Pente: 20(n-m) dB par décade

10
0
-10
-20
-30
-40
-50

Phase:



$$\lim_{\omega \to +\infty} \Phi_H(\omega) = -(n-m)\frac{\pi}{2}$$

Unser / Signaux et systèmes 7-7

7.2 FONCTIONS DE TRANSFERT RATIONNELLES

- Fonctions de transfert rationnelles
- Pôles et zéros
- Décomposition en fractions simples
- Détermination de la réponse impulsionnelle
- Exemple de calcul

Fonctions de transfert rationnelles

Filtre analogique à constantes localisées (équation différentielle)

Contraintes physiques: $n\geqslant m$ $\frac{\mathrm{d}^n y}{\mathrm{d}t^n} + a_{n-1}\frac{\mathrm{d}^{n-1}y}{\mathrm{d}t^{n-1}} + \dots + a_1\frac{\mathrm{d}y}{\mathrm{d}t} + a_0y = b_m\frac{\mathrm{d}^m x}{\mathrm{d}t^m} + \dots + b_1\frac{\mathrm{d}x}{\mathrm{d}t} + b_0x$

Equation du filtre dans le domaine de Fourier

$$(j\omega)^n Y(\omega) + a_{n-1}(j\omega)^{n-1} Y(\omega) + \dots + a_0 Y(\omega) = b_m(j\omega)^m X(\omega) + \dots + b_0 X(\omega)$$
$$((j\omega)^n + a_{n-1}(j\omega)^{n-1} + \dots + a_0) Y(\omega) = (b_m(j\omega)^m + \dots + b_0) X(\omega)$$

Fonction de transfert

$$H(\omega) = \frac{Y(\omega)}{X(\omega)} = \frac{b_m(j\omega)^m + \dots + b_1(j\omega) + b_0}{(j\omega)^n + a_{n-1}(j\omega)^{n-1} + \dots + a_1(j\omega) + a_0} = \frac{P_m(j\omega)}{Q_n(j\omega)}$$

$$P_m(s) = b_m s^m + \dots + b_1 s + b_0$$

$$Q_n(s) = s^n + a_{n-1}s^{n-1} + \cdots + a_1s + a_0$$
 = polynôme caractéristique (cf. Chap 2)!

Unser / Signaux et systèmes 7-9

Pôles et zéros

Fonctions de transfert rationnelles

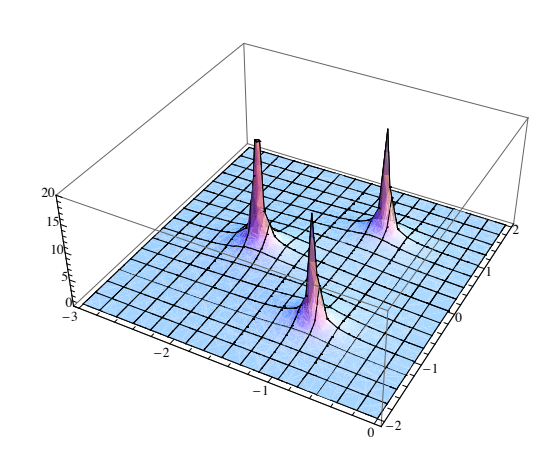
$$H(\omega) = \frac{b_m(j\omega)^m + \dots + b_1(j\omega) + b_0}{(j\omega)^n + a_{n-1}(j\omega)^{n-1} + \dots + a_1(j\omega) + a_0} = \frac{P_m(s)}{Q_n(s)} \Big|_{s=j\omega}$$

Factorisation

$$H(\omega) = b_m \frac{\prod_{k=1}^{m} (j\omega - s_{0k})}{\prod_{k=1}^{n} (j\omega - s_{pk})}$$

 $\mbox{Z\'eros:} \quad \{s_{0k}\}_{k=1,\dots,m} \quad \mbox{t.q.} \quad P_m(s_{0k}) = 0$

 $\mbox{P\^oles:} \quad \left\{s_{\mathbf{p}k}\right\}_{k=1,...,n} \quad \mbox{t.q.} \quad Q_n(s_{\mathbf{p}k}) = 0$



■ Pourquoi l'appellation «pôles»?

Une explication parmi d'autres:

Le quotient $P_m(s)/Q_n(s)$ est une fonction dans le plan complexe qui ressemble vaguement à une tente avec des singularités (piquets=«poles» en anglais) en $s=s_{pk}$.

Décomposition en fractions simples

$$H(\omega) = \frac{P_m(s)}{Q_n(s)} \Big|_{s=j\omega} = b_m \frac{\prod_{k=1}^m (j\omega - s_{0k})}{\prod_{k=1}^n (j\omega - s_{pk})} \quad m \leqslant n$$

Cas de racines simples

$$H(\omega) = \underbrace{b_n}_{=0,} + \sum_{k=1}^n \frac{A_k}{j\omega - s_{\mathrm{p}k}} \quad \text{avec} \quad A_i = (s - s_{\mathrm{p}i}) \cdot \left. \frac{P_m(s)}{Q_n(s)} \right|_{s = s_{\mathrm{p}i}} = b_m \frac{\prod_{k=1}^m (s_{\mathrm{p}i} - s_{0k})}{\prod_{k \neq i} (s_{\mathrm{p}i} - s_{\mathrm{p}k})}$$

Cas de racines multiples

Contribution d'un pôle multiple d'ordre p:

$$\frac{B_1}{j\omega-s_{\mathrm{p}}}+\frac{B_2}{(j\omega-s_{\mathrm{p}})^2}+\cdots+\frac{B_p}{(j\omega-s_{\mathrm{p}})^p}\quad\text{ avec }\quad B_{p-k}=\frac{1}{k!}\frac{\mathrm{d}^k}{\mathrm{d}s^k}\left((s-s_{\mathrm{p}})^p\frac{P_m(s)}{Q_n(s)}\right)_{s=s_{\mathrm{p}}}$$

Unser / Signaux et systèmes 7-11

Détermination de la réponse impulsionnelle

Cas de racines simples

$$H(\omega) = \underbrace{b_n}_{=0,} + \sum_{k=1}^n \frac{A_k}{j\omega - s_{pk}}$$

$$\sin s > m$$

$$\downarrow \quad \mathcal{F}^{-1}$$

$$h(t) = \underbrace{b_n \delta(t)}_{=0,} + \sum_{k=1}^n A_k u(t) \cdot e^{s_{pk}t}$$

$$\sin s = m$$

$$\Rightarrow$$
 Somme pondérée de modes (cf. Chap. 2)!

$$F(\omega) = \int_{-\infty}^{+\infty} f(t)e^{-j\omega t} dt$$

$$\delta(t) \qquad 1$$

$$u(t) \cdot e^{st} \qquad \frac{1}{j\omega - s}, \quad \text{Re}\{s\} < 0$$

$$\frac{t_+^n e^{st}}{n!} \qquad \frac{1}{(j\omega - s)^{n+1}}, \quad \text{Re}\{s\} < 0$$

$$u(t) \cdot e^{at} \cos \omega_0 t \qquad \frac{j\omega - a}{(j\omega - a)^2 + \omega_0^2}, \quad a < 0$$

$$u(t) \cdot e^{at} \sin \omega_0 t \qquad \frac{\omega_0}{(j\omega - a^2)^2 + \omega_0^2}, \quad a < 0$$

Contribution d'un pôle multiple (ordre p)

$$\frac{B_1}{j\omega - s_p} + \frac{B_2}{(j\omega - s_p)^2} + \dots + \frac{B_p}{(j\omega - s_p)^p} \quad \xrightarrow{\mathcal{F}^{-1}} \quad \left(\sum_{k=1}^p B_k \frac{t_+^{k-1}}{(k-1)!}\right) e^{s_p t}$$

Condition de stabilité BIBO

Tous les pôles dans le demi-plan complexe gauche!

Unser / Signaux et systèmes 7-12

Exemple de calcul

Problème: Calculer la réponse impulsionnelle du filtre: $H(\omega) = \frac{-2\omega^2 + 5}{-\omega^2 + 3i\omega + 2}$

1. Exprimer $H(\omega)$ sous la forme d'un quotient de deux polynômes en $s=j\omega$

$$H(\omega) = \frac{2(j\omega)^2 + 5}{(j\omega)^2 + 3j\omega + 2} = \frac{P(s)}{Q(s)}\Big|_{s=j\omega} = \frac{2s^2 + 5}{s^2 + 3s + 2}\Big|_{s=j\omega}$$

- 2. Détermination des pôles: $s^2 + 3s + 2 = 0 \implies (s_1 = -1, s_2 = -2)$ Le système causal est stable!
- 3. Décomposition en fractions simples

$$\frac{2s^2+5}{s^2+3s+2} = \frac{2s^2+5}{(s+1)(s+2)} = 2 + \frac{A_1}{(s+1)} + \frac{A_2}{(s+2)} \qquad \text{(remarque: } \lim_{\omega \to +\infty} H(\omega) = b_m = 2\text{)}$$

$$A_1 = \frac{2s^2+5}{(s+2)} \bigg|_{s=-1} = \frac{2+5}{-1+2} = 7; \quad A_2 = \frac{2s^2+5}{(s+1)} \bigg|_{s=-2} = \frac{8+5}{-2+1} = -13$$

4. Réponse impulsionnelle par transformation de Fourier inverse

$$h(t) = 2\delta(t) + 7u(t) \cdot e^{-t} - 13u(t) \cdot e^{-2t}$$

Unser / Signaux et systèmes 7-13

7.3 PLACEMENT DES POLES ET ZEROS

- Réponse d'amplitude et de phase
- Contribution d'un pôle réel
- Contribution d'un zéro réel
- Contribution d'une paire de pôles conjugués
- Contribution d'une paire de zéros conjugués
- Filtre passe-tout

Fonction de transfert: pôles et zéros

Fonctions de transfert rationnelles

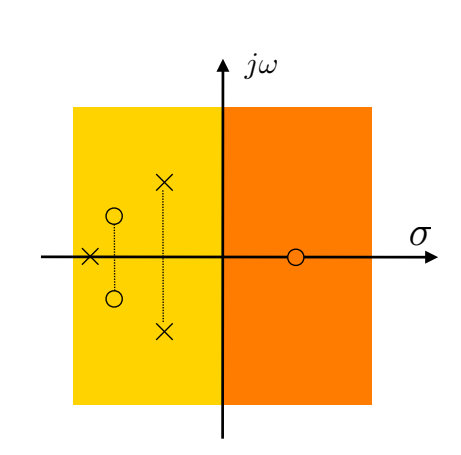
$$H(\omega) = \frac{b_m(j\omega)^m + \dots + b_1(j\omega) + b_0}{(j\omega)^n + a_{n-1}(j\omega)^{n-1} + \dots + a_1(j\omega) + a_0} = \frac{P_m(s)}{Q_n(s)} \bigg|_{s=j\omega} \quad m \leqslant n$$

Exemples: circuit électrique à constantes localisées

$$H(\omega) = b_m \frac{\prod_{k=1}^{m} (j\omega - s_{0k})}{\prod_{k=1}^{n} (j\omega - s_{pk})}$$

$$s_{0k} = \sigma_{0k} + j\omega_{0k}$$
: zéros de $H(\omega)$ \circ

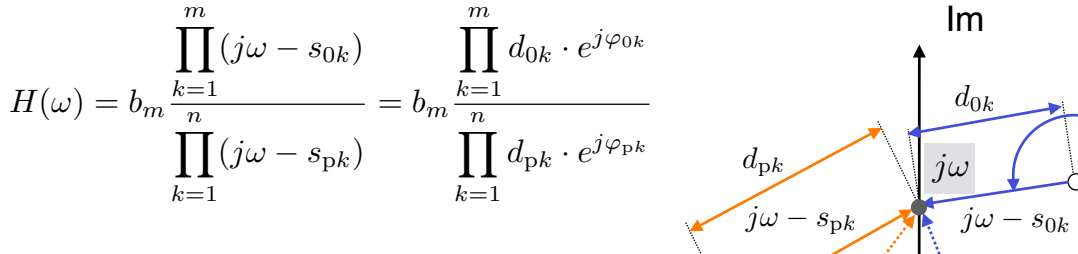
$$s_{{
m p}k} = \sigma_{{
m p}k} + j\omega_{{
m p}k}$$
: pôles de $H(\omega)$ $imes$



7-15 Unser / Signaux et systèmes

Réponse d'amplitude et de phase

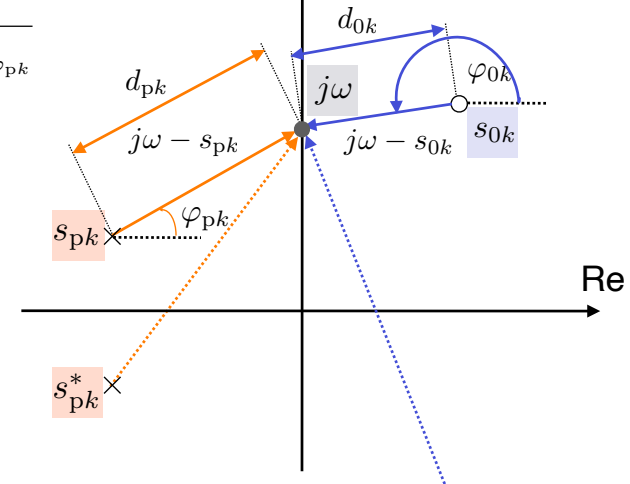
$$H(\omega) = b_m \frac{\prod_{k=1}^{m} (j\omega - s_{0k})}{\prod_{k=1}^{m} (j\omega - s_{pk})} = b_m \frac{\prod_{k=1}^{m} d_{0k} \cdot e^{j\varphi_{0k}}}{\prod_{k=1}^{m} d_{pk} \cdot e^{j\varphi_{pk}}}$$



$$j\omega - \overbrace{(\sigma_k + j\omega_k)}^{s_k} = d_k \cdot e^{j\varphi_k}$$

$$d_k = \sqrt{\sigma_k^2 + (\omega - \omega_k)^2}$$

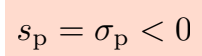
$$\varphi_k = \arctan \frac{\omega - \omega_k}{-\sigma_k}$$

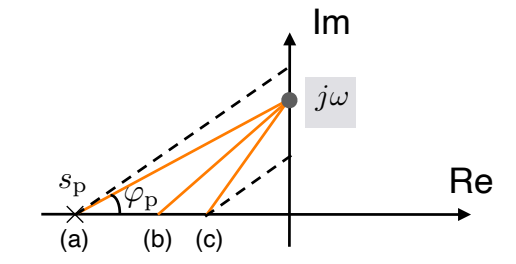


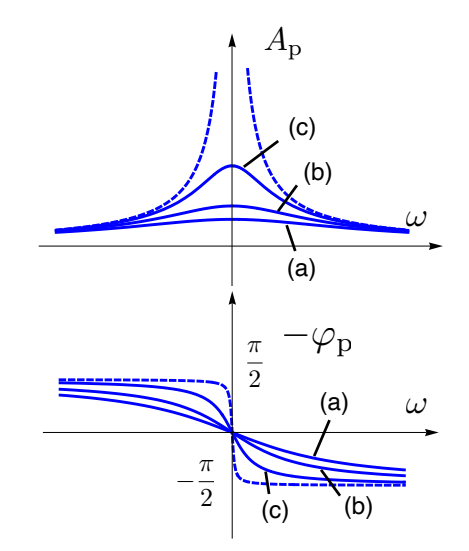
$$\begin{array}{ll} \text{Amplitude:} & A_H(\omega) = |b_m| \cdot \frac{\displaystyle\prod_{k=1}^m d_{0k}}{\displaystyle\prod_{k=1}^n d_{pk}} & \text{Phase:} & \Phi_H(\omega) = \displaystyle\sum_{k=1}^m \varphi_{0k} - \displaystyle\sum_{k=1}^n \varphi_{pk} \end{array}$$

7-16 Unser / Signaux et systèmes

Contribution d'un pôle réel





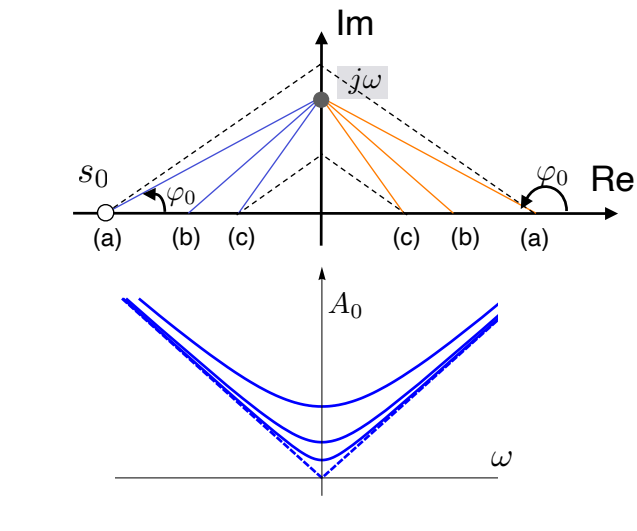




Unser / Signaux et systèmes

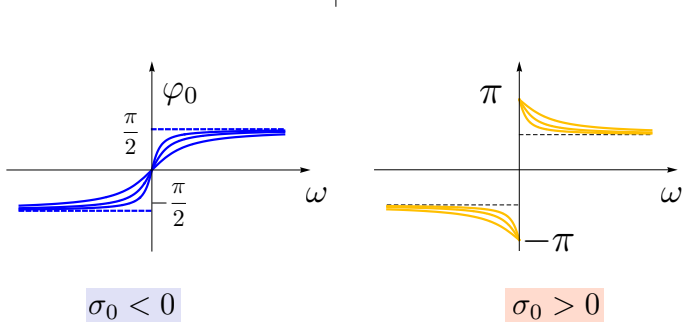
Contribution d'un zéro réel

$$s_0 = \sigma_0$$



7-17

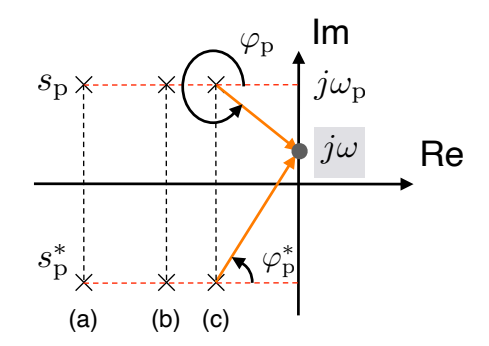




Unser / Signaux et systèmes 7-18

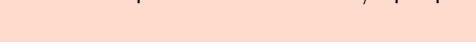
Contribution d'une paire de pôles conjugués

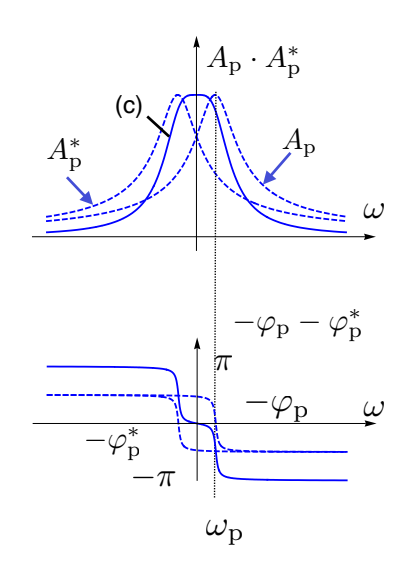
$$s_{\rm p} = \sigma_{\rm p} + j\omega_{\rm p}$$
$$s_{\rm p}^* = \sigma_{\rm p} - j\omega_{\rm p}$$



Placement du/des pôle(s): effets qualitatifs

- lacktriangle Résonance (amplification) à la fréquence $\omega_{
 m p}$; d'autant plus forte que le pôle est proche de l'axe imaginaire
- Retard de phase de l'ordre de $\pi/2$ par pôle





7-19

Click for demo

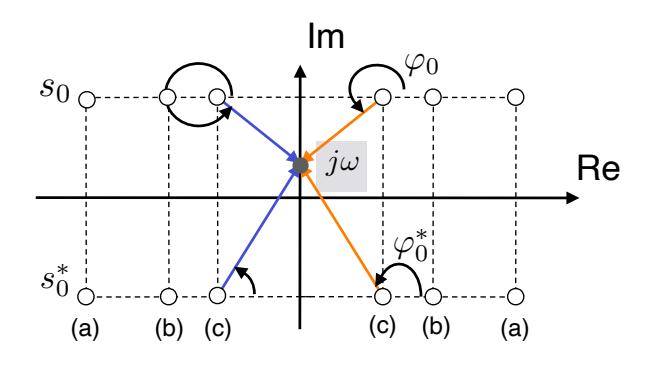
Unser / Signaux et systèmes

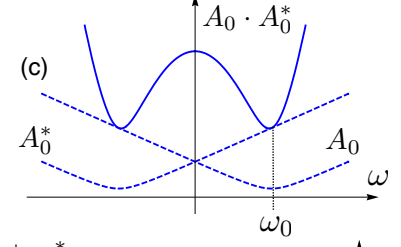
Contribution d'une paire de zéros conjugués

$$s_0 = \sigma_0 + j\omega_0$$
$$s_0^* = \sigma_0 - j\omega_0$$

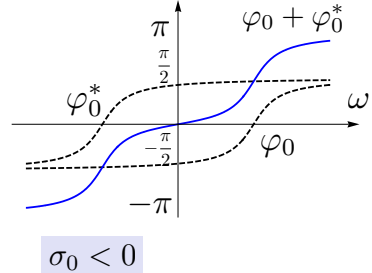
Placement du/des zéro(s): effets qualitatifs

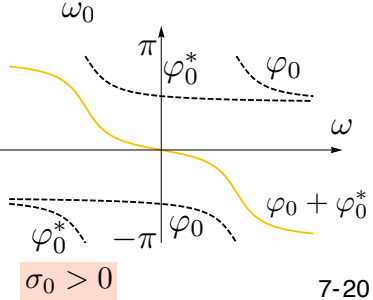
- Atténuation à la fréquence ω_0 ; d'autant plus forte que le zéro est proche de l'axe imaginaire
- \blacksquare Avance ($\sigma_0<0$) ou retard ($\sigma_0>0$) de phase de l'ordre de $\pi/2$ par zéro











Unser / Signaux et systèmes

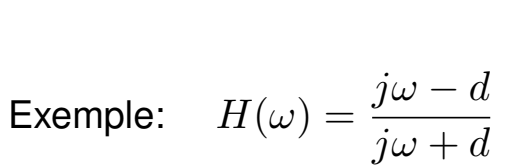
Filtre passe-tout

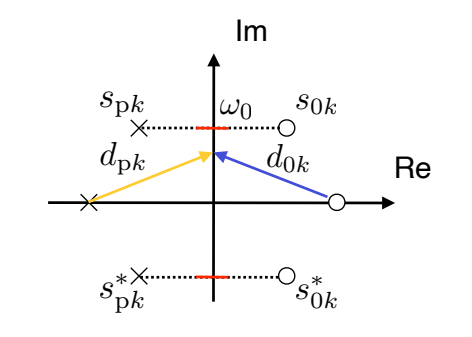
Filtre passe-tout = déphaseur

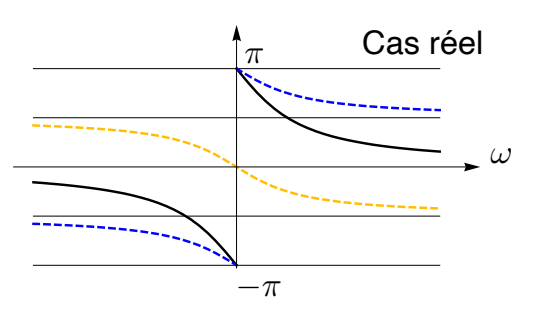
- Modifie seulement la phase
- Pôles et zéros placés de façon symétrique

$$A_H(\omega) = 1 \quad \forall \omega \quad \Rightarrow \quad A_H(\omega) = \prod_{k=1}^n \underbrace{\frac{d_{0k}}{d_{pk}}}_{1}$$

$$\sigma_{0k} + j\omega_0 k = -\sigma_{pk} + j\omega_{pk} \quad \Leftrightarrow \quad s_{0k} = -s_{pk}^*$$





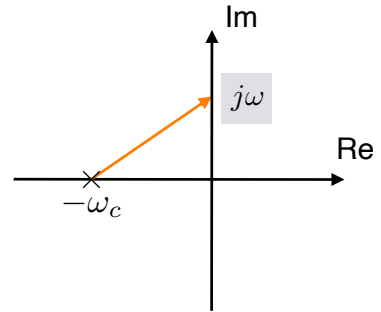


Unser / Signaux et systèmes 7-21

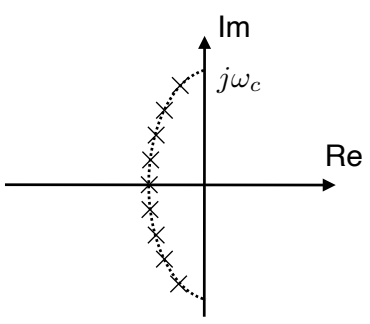
7.4 SYNTHESE DE FILTRES PARTICULIERS

- Filtres passe-bas
- Filtres passe-bande
- Filtres à encoches
- Filtres de Butterworth

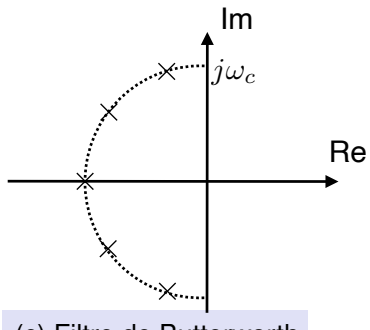
Filtres passe-bas



(a) Filtre du premier ordre (n=1)

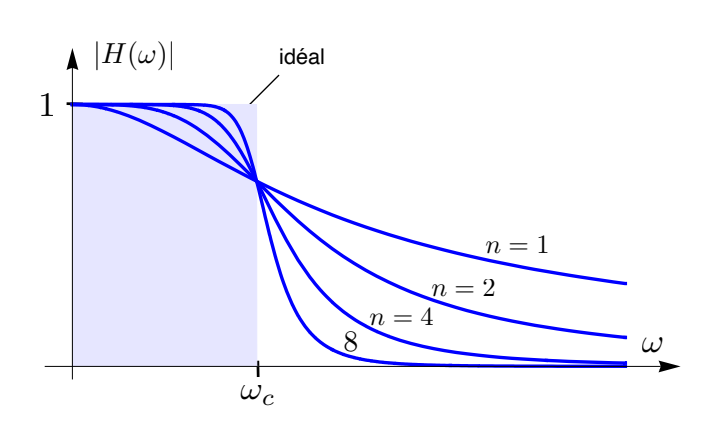


(b) Mur de pôles



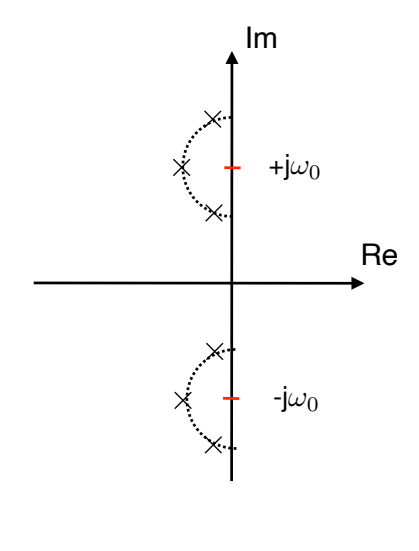
(c) Filtre de Butterworth

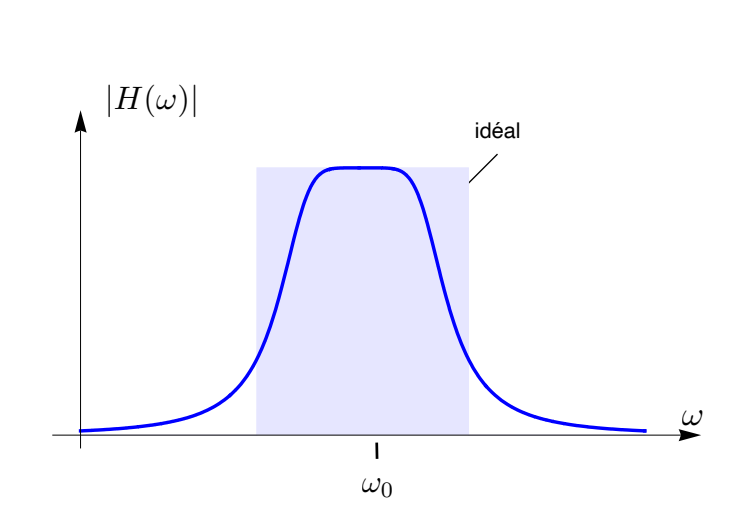
$$H_1(\omega) = \frac{\omega_c}{j\omega + \omega_c}$$



Unser / Signaux et systèmes 7-23

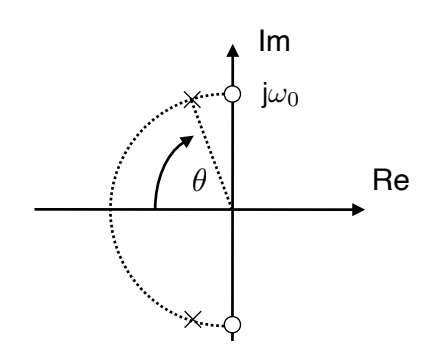
Filtres passe-bande

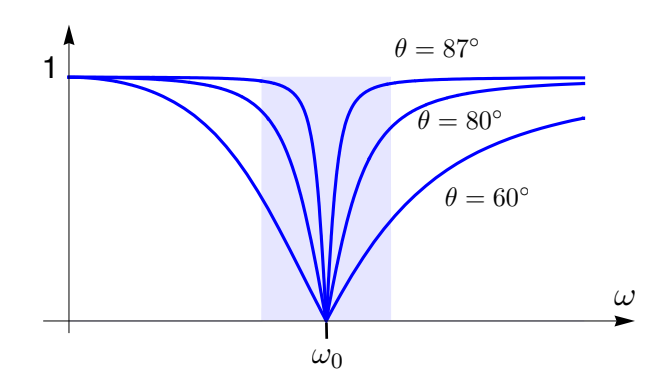




Unser / Signaux et systèmes 7-24

Filtre à encoche (Notch filter)





Contraintes

$$\qquad \qquad H(\omega_0) = 0 \qquad \qquad \Rightarrow \qquad \text{z\'eros \`a} \ s = \pm j \omega_0$$

$$\lim_{\omega \to +\infty} H(\omega) = 1 \quad \Rightarrow \quad \text{même nombre de pôles et de zéros } (n=m)$$

$$\blacksquare \quad H(0) = 1 \qquad \qquad \Rightarrow \qquad \text{pôles et z\'eros \'equidistants de l'origine (arc de cercle)}$$

Exemple: filtre du 2ème ordre

$$H(j\omega) = \frac{(j\omega + j\omega_0)(j\omega - j\omega_0)}{(j\omega + \omega_0(\cos\theta + j\sin\theta))(j\omega + \omega_0(\cos\theta - j\sin\theta))}$$

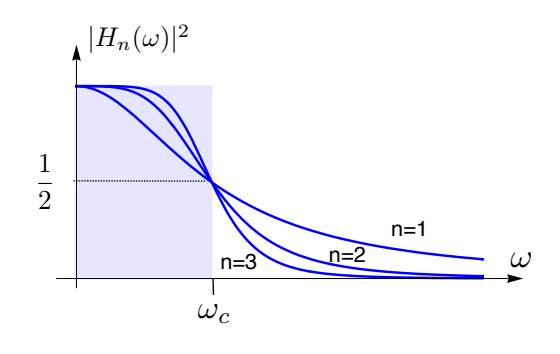
Unser / Signaux et systèmes 7-25

Filtres de Butterworth

 $lue{}$ Definition: filtre de Butterworth d'ordre n

$$|H_n(\omega)|^2 = \frac{1}{1 + (\omega/\omega_c)^{2n}}$$

 ω_c : fréquence de coupure



- Propriétés de filtrage passe-bas
 - Comportement à l'origine: «Maximally Flat Magnitude Filter»

$$|H_n(\omega)|^2 = 1 + O\left(\omega^{2n}\right)$$

En effect:
$$\frac{1}{1+\Delta x} = 1 - \underbrace{\Delta x}_{O(\omega^{2n})} + \underbrace{(\Delta x)^2}_{O(\omega^{4n})} - \cdots$$

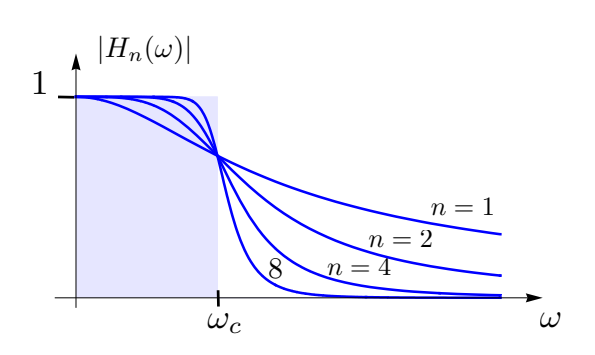
Comportement asymptotique:

$$|H_n(\omega)| \propto rac{1}{|\omega|^n}$$
 lorsque $\omega o +\infty$

Filtres de Butterworth (suite)

$$|H_n(\omega)|^2 = \frac{1}{1 + (\omega/\omega_c)^{2n}} = \frac{1}{1 + (s/(j\omega_c))^{2n}} \Big|_{s=j\omega}$$

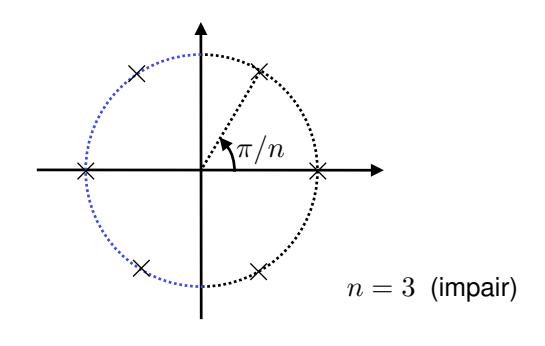
$$= \frac{\omega_c^n}{Q_n(j\omega)} \cdot \frac{\omega_c^n}{Q_n(-j\omega)} = H_n(\omega)H_n^*(\omega)$$

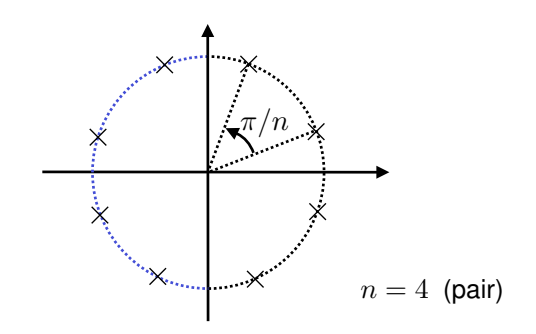


■ Pôles de $|H_n(\omega)|^2 = H_n(\omega) \cdot H_n(-\omega)$

$$\left(\frac{s}{\omega_c}\right)^{2n} = -1 \cdot j^{2n} = e^{j\pi(2k-1)} \cdot e^{j\frac{\pi}{2}2n} \quad \Rightarrow \quad s_{pk} = \omega_c \cdot e^{\frac{j\pi}{2n}(2k-1+n)}$$

$$s_{pk} = \omega_c \cdot e^{\frac{j\pi}{2n}(2k-1+n)}$$





7-27 Unser / Signaux et systèmes